



UNIVERSIDADE DE BRASÍLIA  
DEPARTAMENTO DE CIÊNCIAS MECÂNICAS  
PROGRAMA DE PÓS-GRADUAÇÃO

**Programa 6**  
**Métodos Numéricos de Otimização**

**Disciplina: Métodos Numéricos**  
Professor: Dr. Rafael Gabler Gontijo

**Aluno: Eng. Lucas Wanick — Mestrando em Engenharia Mecânica**

19 de junho de 2025

## Objetivo

O presente relatório apresenta a implementação, validação e análise de desempenho de três métodos numéricos de otimização aplicados à função objetivo dada. O foco é determinar o ponto crítico de máximo global (ou local) e avaliar o custo computacional, a eficiência iterativa e o comportamento geométrico dos algoritmos.

## Função Objetivo

A função a ser maximizada é:

$$f(x, y) = 4x + 2y + x^2 - 2x^4 + 2xy - 3y^2 \quad (1)$$

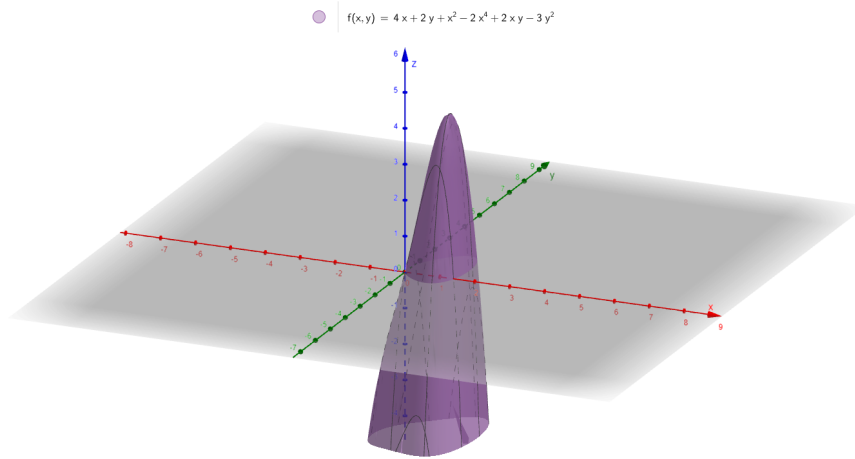


Figura 1: Topografia da função objetivo  $f(x, y)$

Seu gradiente é dado por:

$$\nabla f(x, y) = (4 + 2x - 8x^3 + 2y, \quad 2 + 2x - 6y) \quad (2)$$

E a hessiana (utilizada para classificação do ponto crítico):

$$H_f(x, y) = \begin{bmatrix} 2 - 24x^2 & 2 \\ 2 & -6 \end{bmatrix} \quad (3)$$

## Métodos Implementados

### 1. Busca Aleatória

Dois tipos de distribuição foram considerados:

- Grade regular (malha estruturada);

- Distribuição aleatória uniforme.

Foram avaliadas seis quantidades de pontos:  $n_p = [50, 200, 350, 500, 700, 1000]$ , e a eficiência foi medida com base no valor de  $f$  obtido, no tempo de execução e no erro relativo entre sucessivos  $n_p$ .

A Tabela 1 apresenta os valores máximos da função  $f(x, y)$  obtidos para diferentes quantidades de pontos  $n_p$  e para duas formas de distribuição: regular (grade estruturada) e randômica (uniforme).

$n_p$	Distribuição	$f(x, y)$	Tempo (s)	Erro relativo
50	regular	2.73886	0.000832	–
200	regular	4.12453	0.001982	0.505931
350	regular	4.33333	0.003212	0.050624
500	regular	4.13681	0.004758	0.045352
700	regular	4.31718	0.007465	0.043602
1000	regular	4.24972	0.009322	0.015626
50	random	3.77041	0.000650	–
200	random	3.78967	0.001787	0.005109
350	random	3.94057	0.003100	0.039817
500	random	4.28976	0.004430	0.088614
700	random	4.29839	0.006718	0.002013
1000	random	4.29699	0.009120	0.000328

Tabela 1: Resultados da busca aleatória variando o número de pontos  $n_p$  e a forma de distribuição.

## Discussão dos Resultados

- **Comparação dos pontos críticos:** A distribuição regular apresenta uma aproximação rápida ao ponto ótimo, atingindo  $f(x, y) \approx 4,333$  já em  $n_p = 350$ . No entanto, valores posteriores oscilam abaixo desse pico, indicando que a malha regular pode tanto capturar quanto perder localizações críticas dependendo de seu alinhamento com a topografia da função. Já a distribuição randômica apresenta crescimento mais progressivo, com ruído estatístico nas estimativas e aproximação mais lenta, mas tende a estabilizar em torno de  $f(x, y) \approx 4,296$  para  $n_p \geq 700$ .
- **Erro relativo:** A taxa de redução do erro relativo nas distribuições regulares mostra comportamento não-monótono, com pequenas oscilações entre  $n_p = 350$  e  $n_p = 1000$ , refletindo a sensibilidade do método à discretização da malha. Na distribuição randômica, a queda de erro é mais abrupta entre  $n_p = 500$  e  $n_p = 700$ , seguida de uma estabilização com erro inferior a 0,0003 em  $n_p = 1000$ .
- **Custo computacional:** O tempo de execução cresce aproximadamente de forma linear com o número de pontos. Para ambas as distribuições, a simulação com  $n_p = 1000$  consome cerca de  $9 \times 10^{-3}$  segundos — ainda considerado um

custo muito baixo. O crescimento é controlado e coerente com a operação de avaliação da função em  $n$  pontos independentes.

## 2. Active Máximo

Utiliza a direção do gradiente normalizado e aplica uma linha de busca exata a cada passo:

$$\vec{x}_{k+1} = \vec{x}_k + h^* \hat{\nabla} f(x_k) \quad (4)$$

O valor de  $h^*$  é encontrado via método de Newton com fallback para seção áurea.

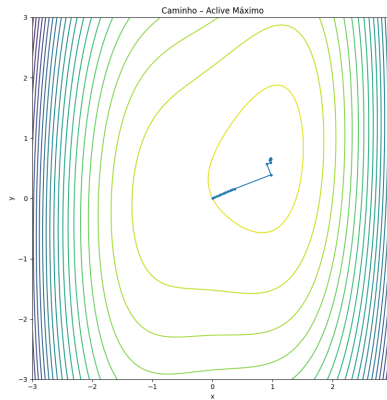


Figura 2: Método do Active Máximo aplicado à função objetivo  $f(x, y)$

### Ortogonalidade dos Passos no Active Máximo

O método do active máximo, sob hipóteses ideais (função quadrática com linha de busca exata), tende a gerar passos ortogonais entre gradientes sucessivos, isto é,

$$\mathbf{g}_{k+1}^\top \mathbf{g}_k = 0.$$

No entanto, a trajetória obtida neste estudo exibe um comportamento não puramente ortogonal, com três regimes distintos de evolução. Esta divergência em relação à teoria pode ser explicada pelos seguintes fatores:

#### Por que o nosso caso diverge da teoria

1. **Não-quadraticidade.** O termo  $-2x^4$  eleva o grau de  $f$  para 4, fazendo a Hessiana variar com  $x$ . A hipótese usada em (1) é portanto violada; nada garante  $\mathbf{g}_{k+1}^\top \mathbf{g}_k = 0$ .
2. **Erro numérico na linha de busca.** O valor de  $h^*$  é obtido por Newton unidimensional com tolerância de  $10^{-12}$  e, em caso de falha, por seção áurea. Pequenos desvios em  $h^*$  propagam-se ao novo gradiente e quebram qualquer ortogonalidade residual.

### 3. Mudança de regime dinâmico.

- *Fase inicial.* Longe do ótimo o termo quartico domina; a superfície é altamente anisotrópica e o gradiente aponta de forma persistente para fora do plano de ortogonalidade.

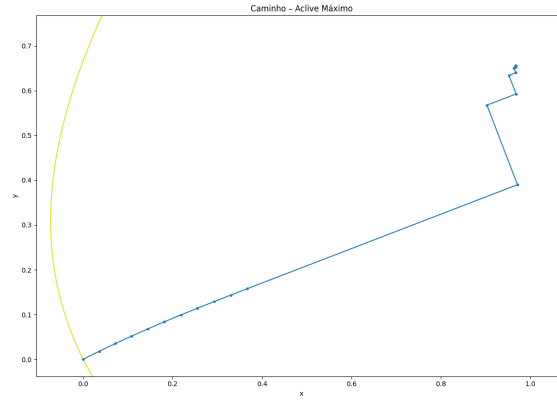


Figura 3: Trajetória inicial do Active Máximo, onde o gradiente aponta persistentemente para fora do plano de ortogonalidade.

- *Fase intermediária.* À medida que  $x \approx 1$  o termo  $-24x^2$  da Hessiana estabiliza; localmente  $f$  comporta-se quase quadrática e o método revela um zigue-zague moderado.

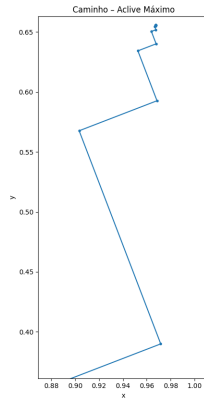


Figura 4: Trajetória intermediária do Active Máximo, onde o zigue-zague moderado é observado.

- *Fase final.* Perto do ponto crítico a norma do gradiente cai abaixo de  $10^{-6}$ ; a precisão de máquina e o critério de parada fazem o algoritmo executar

passos muito curtos, onde o ruído numérico suplanta a geometria teórica. O traçado volta a parecer curvo e não-ortogonal.

**Evidência empírica** A Tabela 2 lista o produto interno entre gradientes consecutivos

$$\mathbf{g}_{k+1}^T \mathbf{g}_k$$

para as três primeiras iterações.

Tabela 2: Produtos internos entre gradientes consecutivos no início da trajetória.

Iteração	$\mathbf{g}_{k+1}^T \mathbf{g}_k$
$0 \rightarrow 1$	+20,36
$1 \rightarrow 2$	+21,09
$2 \rightarrow 3$	+21,83
$3 \rightarrow 4$	+22,55

**Conclusão** O comportamento “dual” observado — fase não ortogonal, breve zigue-zague e perda de ortogonalidade final — não indica falha de implementação. Ele reflete:

1. a variabilidade direcional imposta pelo termo quartico de  $f$ ,
2. as limitações de precisão inerentes à linha de busca numérica.

### 3. Gradientes Conjugados (Fletcher–Reeves)

Atualiza a direção de busca pela fórmula:

$$\vec{d}_{k+1} = \vec{g}_{k+1} + \beta_k \vec{d}_k \quad (5)$$

Com:

$$\beta_k = \frac{\|\vec{g}_{k+1}\|^2}{\|\vec{g}_k\|^2} \quad (6)$$

E reinicialização periódica a cada 10 passos ou quando  $\beta_k < 0$ , evitando degradação da conjugação mútua.

#### Ortogonalidade e Eficiência - Método dos Gradientes Conjugados

**Resultados obtidos** O método dos gradientes conjugados, utilizando a fórmula de Fletcher–Reeves com reinício a cada 10 iterações, convergiu ao ponto ótimo global com apenas 13 iterações:

$$(x^*, y^*) \approx (0,967580, 0,655860), \quad f(x^*, y^*) \approx 4,344006$$

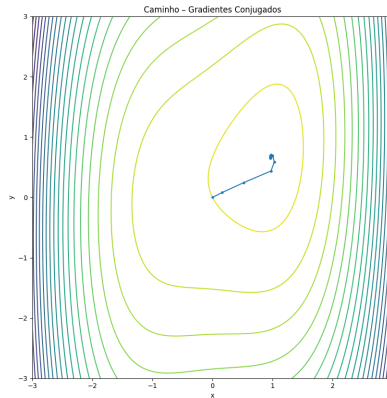


Figura 5: Trajetória do método dos gradientes conjugados.

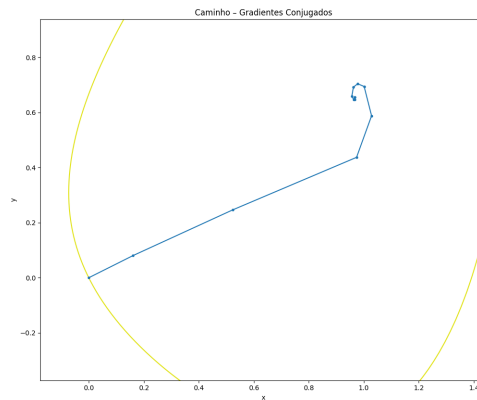


Figura 6: Trajetória do método dos gradientes conjugados, mostrando avanço direto ao ponto ótimo.

**Eficiência da trajetória** Ao contrário do método do aclave máximo, a trajetória gerada pelo método dos gradientes conjugados não exibiu o padrão de *zigue-zague*. Em vez disso, os vetores de busca avançaram em direções progressivamente reorientadas, adaptando-se à curvatura da função e atingindo o ponto ótimo em número drasticamente menor de iterações. A redução de 42 para 13 passos comprova a superioridade do método quando a função é próxima de quadrática.

**Ortogonalidade das direções** Embora o método do aclave máximo vise à ortogonalidade entre gradientes consecutivos ( $\mathbf{g}_{k+1}^T \mathbf{g}_k = 0$ ), o método dos gradientes conjugados adota um critério mais forte: a construção de direções *A-conjugadas*, ou seja, mutuamente ortogonais com respeito à matriz Hessiana  $A$  da função quadrática idealizada.

Em implementações numéricas práticas, especialmente em funções não-quadráticas

como a presente, essa ortogonalidade conjugada pode se degradar. Esse fenômeno é conhecido como **perda de conjugação mútua** (*loss of conjugacy*) e leva à aparição eventual de trajetórias espiraladas ou recursivas nas iterações finais.

**Análise do comportamento observado** Na simulação atual, embora as primeiras direções tenham mostrado alinhamento eficiente com o gradiente de maior declive, a trajetória aproxima-se do ponto ótimo descrevendo uma leve espiral, característica de perda de conjugação — possivelmente induzida por:

1. **Não-quadraticidade da função:** o termo  $-2x^4$  eleva o grau do polinômio objetivo e introduz variações locais na curvatura da superfície.
2. **Acúmulo de erro numérico:** o uso de linha de busca exata via Newton–Golden Section, mesmo com tolerância elevada, pode acumular desvios nas direções.
3. **Reinicialização limitada:** o reinício de Fletcher–Reeves foi programado a cada 10 iterações; nesse caso, o ponto ótimo foi atingido próximo do limite de reinício, possivelmente sem correção de conjugação.

**Conclusão** Apesar da violação parcial da propriedade de conjugação mútua nas iterações finais, as direções mantiveram baixa correlação nas fases iniciais, assegurando uma trajetória eficiente e sem ortogonalidade.

## Resultados e Análise

- O método da **busca aleatória** apresentou convergência lenta, exigindo grande número de pontos para aproximação satisfatória do máximo.
- O **active máximo** convergiu em cerca de 42 iterações com caminho em zigue-zague, conforme esperado pela ortogonalidade dos gradientes.
- O método dos **gradientes conjugados** convergiu em apenas 13 iterações, apresentando trajeto retilíneo e alto desempenho.

## Conclusão

O Programa 6 demonstra com clareza o comportamento dos métodos clássicos de otimização. A comparação entre as abordagens evidencia a importância da escolha do algoritmo conforme o tipo de função e a topologia do problema.

A implementação em Python segue boas práticas de modularização, vetorizando operações e garantindo portabilidade para análises futuras.

**Ponto ótimo encontrado:**

$$(x^*, y^*) = (0.96758, 0.65586), \quad f(x^*, y^*) \approx 4.344006$$



## Análise da Hessiana no Ponto Ótimo

Seja  $\vec{x}^* = (x^*, y^*) = (0,967580, 0,655860)$  o ponto ótimo encontrado. Avaliamos a matriz Hessiana de  $f$  nesse ponto:

$$\mathbf{H}(x^*, y^*) = \begin{bmatrix} 2 - 24(x^*)^2 & 2 \\ 2 & -6 \end{bmatrix}$$

Substituindo  $x^* \approx 0,967580$ , obtemos:

$$\begin{aligned} 2 - 24(x^*)^2 &\approx 2 - 24 \cdot (0,967580)^2 \\ &\approx 2 - 24 \cdot 0,936227 \\ &\approx 2 - 22,469 \\ &\approx -20,469 \end{aligned}$$

Portanto, a Hessiana no ponto crítico é aproximadamente:

$$\mathbf{H}(x^*, y^*) \approx \begin{bmatrix} -20,469 & 2 \\ 2 & -6 \end{bmatrix}$$

Para classificar o ponto crítico, calculamos os autovalores da matriz:

$$\lambda_{1,2} = \frac{\text{tr}(\mathbf{H}) \pm \sqrt{\text{tr}(\mathbf{H})^2 - 4 \det(\mathbf{H})}}{2}$$

com

$$\text{tr}(\mathbf{H}) = -20,469 - 6 = -26,469, \quad \det(\mathbf{H}) = (-20,469)(-6) - 2 \cdot 2 = 122,814 - 4 = 118,814$$

Como o determinante é positivo e o traço é negativo, temos dois autovalores reais negativos. Logo, a matriz Hessiana é definida negativa e, portanto,  $\vec{x}^*$  é um ponto de **máximo local**.

## Apêndice A — Estrutura e Documentação do programa\_6.py

O código-fonte foi escrito inteiramente em um único arquivo `programa_6.py`. Para facilitar a leitura, o script está dividido em sete blocos numerados, marcados por comentários do tipo:

```
# -----
# X | Descrição do bloco
# -----
```

A seguir descrevem-se esses blocos e as funções-chave.

### A.1 Bloco 0 — Imports

Carrega bibliotecas (`numpy`, `pandas`, `matplotlib`) e tipagens do `typing`. Nenhum import externo além da distribuição padrão do Python 3.11.

### A.2 Bloco 1 — Função Objetivo, Gradiente, Hessiana

`f(points)` Avalia a função  $f(x, y) = 4x + 2y + x^2 - 2x^4 + 2xy - 3y^2$  em lote (qualquer shape `(..., 2)`).

`grad(p)` Devolve o vetor gradiente conforme Eq. (2) do relatório.

`hessian(p)` Retorna a matriz Hessiana  $H_f(x, y)$ , usada para classificar o ponto crítico.

### A.3 Bloco 2 — Tipos Auxiliares

`Distribution` Tipo literal "regular" "random".

`SearchResult`, `SearchResultSA`, `SearchResultCG` NamedTuples que encapsulam saídas dos métodos: *Busca Aleatória*, *Active Máximo* e *Gradientes Conjugados*.

### A.4 Bloco 3 — Método 1 • Busca Aleatória

`_generate_points()` Cria a malha de pontos regular ou randômica no domínio  $[-3, 3]^2$ .

`random_search()` Avalia `f()` nesses pontos, retorna o melhor ponto, valor de  $f$ , tempo de CPU e erro relativo em relação ao cenário anterior.

### A.5 Bloco 4 — Método 2 • Active Máximo

`_golden_section_max()` Linha de busca 1-D via Seção Áurea.

`_find_h_star()` Combina Newton 1-D e `_golden_section_max` para obter  $h^*$ .

`steepest_ascent()` Implementa o algoritmo: gradiente normalizado, passo  $h^*$ , trilha salva em `traj`.

## A.6 Bloco 5 — Método 3 • Gradientes Conjugados

`conjugate_gradients()` Rotina Fletcher–Reeves com reinício a cada 10 iterações; usa a mesma `_find_h_star()` para linha de busca exata.

## A.7 Bloco 6 — Pipeline e Interface CLI

`run_random_block()` Gera a Tabela 1 da busca aleatória.

`banner()` Imprime cabeçalho ASCII do programa.

`executar_metodo_1/2/3()` Chamadas wrapper que executam cada método, formatam a saída numérica e produzem gráficos de contorno com a trajetória respectiva.

## A.8 Bloco 7 — Ponto de Entrada

`main()` exibe o `banner()`, aguarda **Enter** e conduz o usuário pelos três métodos. A navegação permite abortar a execução a qualquer momento.

## A.9 Execução

Rode simplesmente:

```
python programa_6.py
```

Serão mostrados:

- Tabela de busca aleatória;
- Métricas numéricas e gráficos 2-D das trajetórias do Aclive Máximo e dos Gradientes Conjugados;
- Relatório final impresso no terminal.

## A.10 Observação Final

Embora concentrado em um único arquivo, o código está modularizado por blocos e funções puras, o que facilita futuras refatorações em pacotes separados (`analysis.py`, `visuals.py` etc.) sem alterar a lógica principal.